



Formation CE-MS :

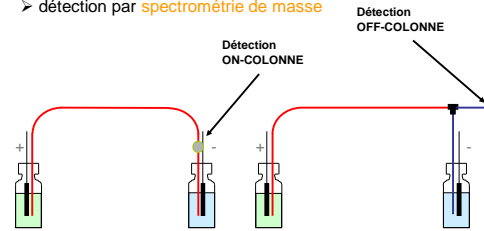
Couplage électrophorèse capillaire-spectrométrie de masse (CE-MS)

Contact : Yannis FRANCOIS, Lab. de Spectrométrie de Masse des Interactions et des Systèmes
1 rue Blaise Pascal, 67000 Strasbourg
email: yfrancois@unistra.fr

DETECTION

LES PLUS COURANTS:

- détection UV
- détection par fluorescence
- détection par spectrométrie de masse



OFF-COLONNE

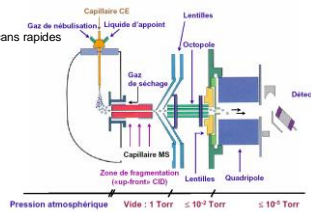
➢ Détection par spectrométrie de masse

❖ nécessite de concevoir une interface adaptée

○ assurer le maintien du champ électrique

○ diminuer les effets d'aspiration

○ utiliser des analyseurs permettant des scans rapides

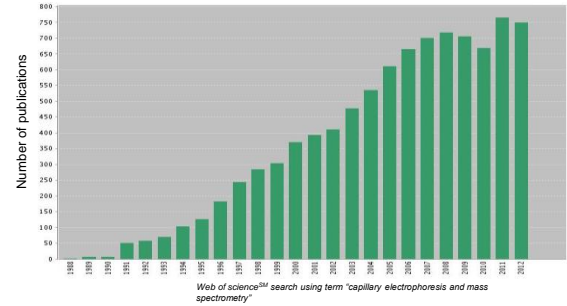


Interface basée sur le mode ESI/MS

appliquée aux sels d'ammonium, amines, dipeptides

ex : pour les ions simples, LOD = 10 amol

CE-MS Coupling



Couplage CE-MS

Advantages CE-MS



- Bonne efficacité
- Ultra-low flow rate
- Selectivité
- Sensibilité
- Information de structure

Inconvénients CE-MS



- Faible volume d'échantillon (haute concentration)
- Compatibilité du BGE avec la MS
- Adsorption protéine surface interne
- Difficulté pour maintenir le courant

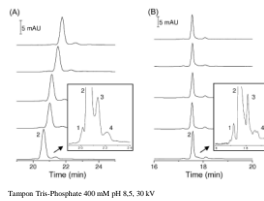
Les réponses aux limitations

Adsorption des protéines à la surface interne du capillaire

➢ Greffage des parois internes du capillaire.

- ✓ Covalent (idéal pour MS)
- ✓ Dynamique (compatible MS)

Exemple



Répétition d'analyse CE-UV d'une solution d'hormone de croissance (3mg/mL).

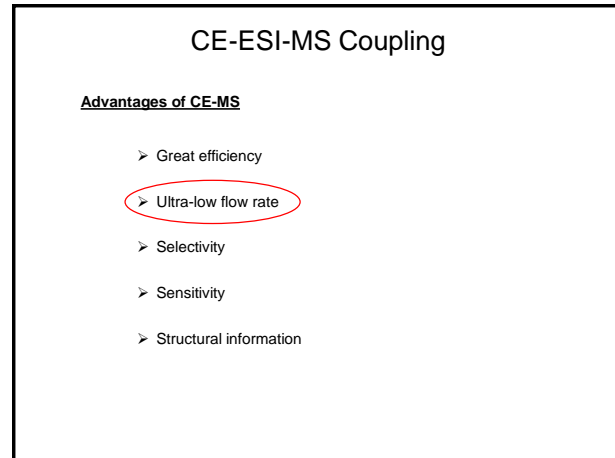
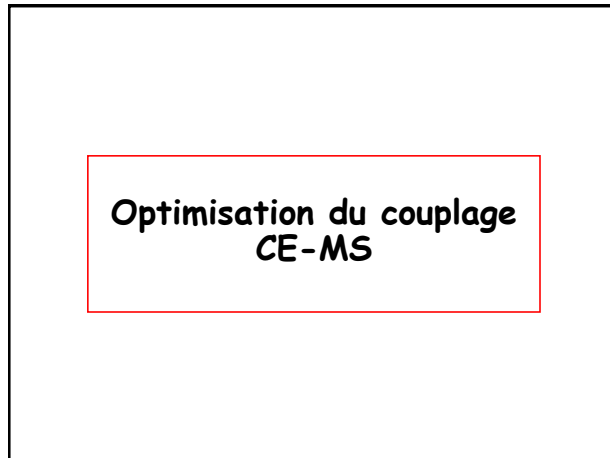
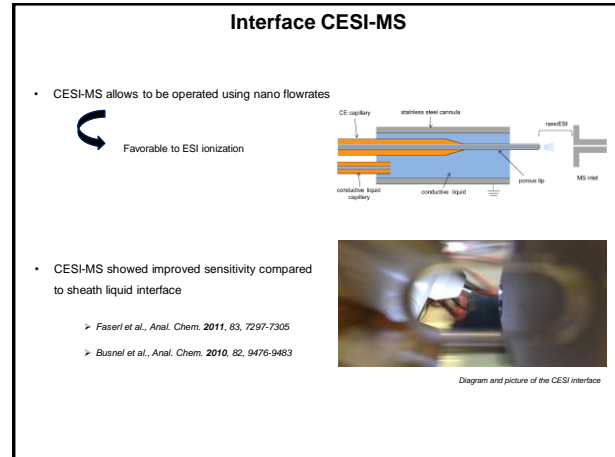
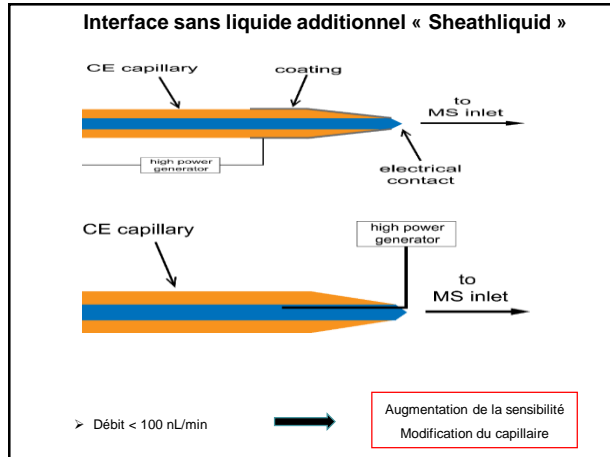
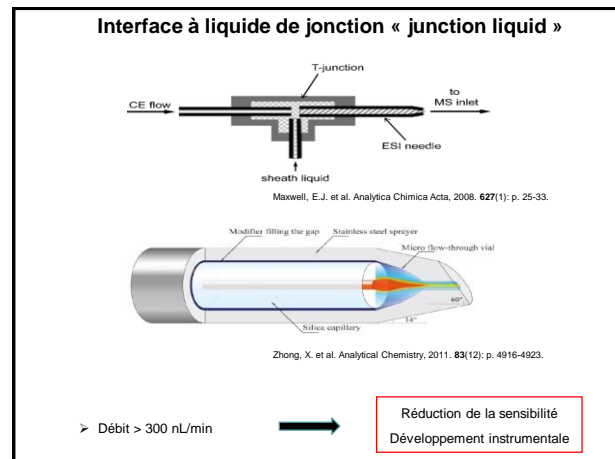
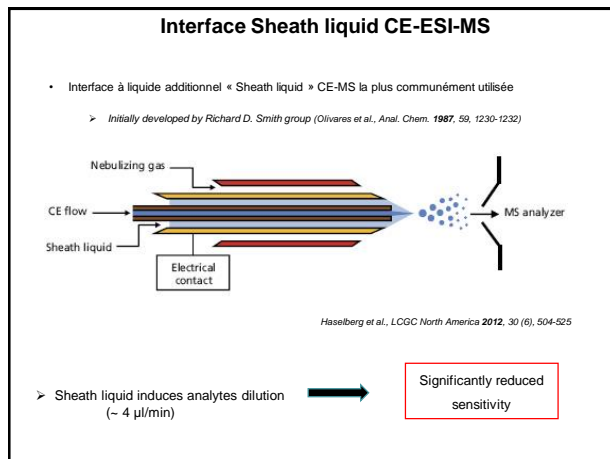
(A) Capillaire Viege

- Baisse de l'eof
- Baisse de la résolution

(B) Capillaire greffé PB-PVS

- RSD=0,68% (n=5)

Catai et al. J. Chrom. B., 2006, 852, 160-166



Les réponses aux limitations

438
Anal. Chem. 1988, 60, 438-441

Capillary Zone Electrophoresis-Mass Spectrometry Using an Electrospray Ionization Interface

Richard D. Smith,* José A. Olivares,¹ Nhung T. Nguyen, and Harold R. Udseth
Chemical Methods and Separations Group, Chemical Sciences Department, Pacific Northwest Laboratory, Richland Washington 99352

Jusqu'à présent, l'interface « sheathliquid » a été la plus utilisée

CE-ESI-MS Coupling

CE is a miniaturized technique performing ultra-low flow rates

Decreasing the flow allows for increased sensitivity in the ESI-MS¹

↓

“Ultra-low flow” CESI-MS

¹Wilm, Mann International Journal of Mass Spectrometry 1994, 136, 167-180

Flow rates comparison

| Separation Technology | Column Diameter | Flow-rate (nL/min) |
|-----------------------|-----------------|---------------------|
| High flow LC-MS | 2.1 – 4.6 mm | 200,000 – 2,000,000 |
| Microbore LC-MS | 1 mm | 50,000-200,000 |
| Microflow LC-MS | 0.3-0.5 mm | 2,000-50,000 |
| CE-MS | 50-100 µm | 2,000 – 4,000 |
| Nanoflow LC-MS | 50-200 µm | 100-1500 |
| CESI-MS | 30 µm | < 30 |

CESI allows performing real nano flowrates

CESI Interface

30 µm ID separation capillary with outlet portion etched by HF, provides electrical contact

Originally developed by M. Moiri at U. of Texas and further developed by Beckman Coulter Inc.

What are the accessible flow rates?

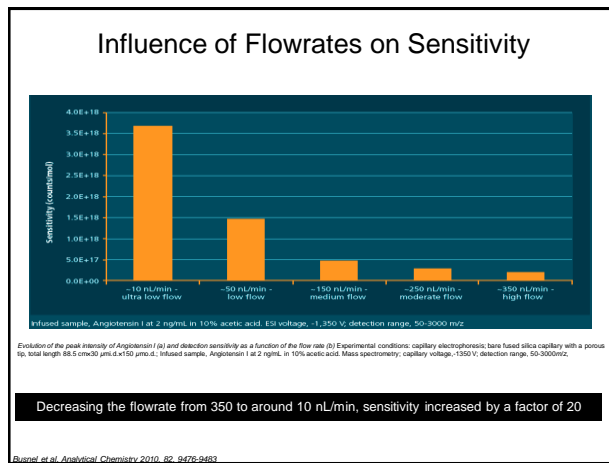
CESI Interface Achievable Flow rates

- CESI-MS infusion of intact protein sample

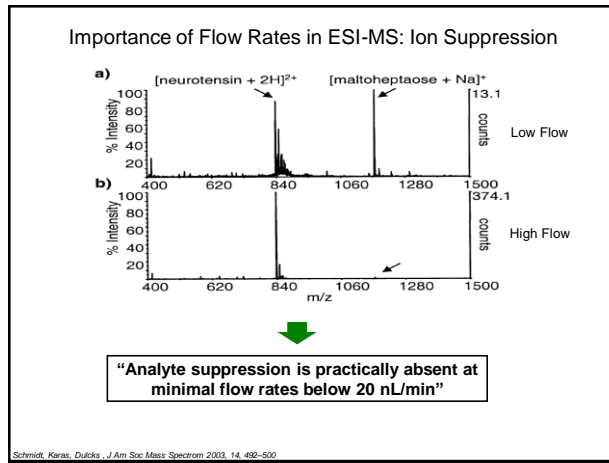
Conditions : Myoglobin 1 µM (in 10% acetic acid), Flow rates 3, 7 - 170 nL/min, Capillary voltage: -1400V, Investigated m/z : 848.94

Spray could be obtained using flow rate as low as 4 nL/min

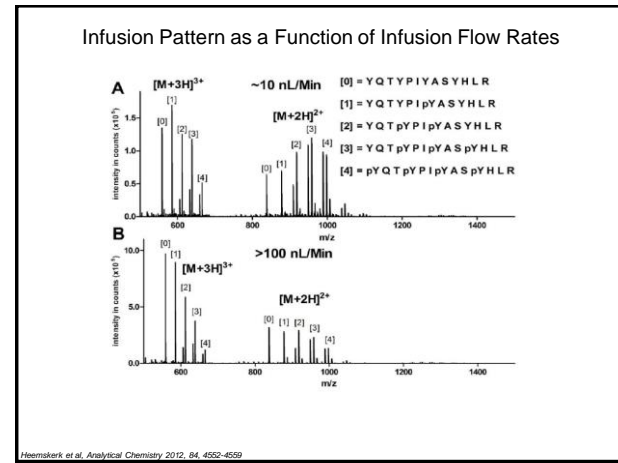
Gahoual et al, Analytical and Bioanalytical Chemistry 2014, 406 (4), 1029-1038



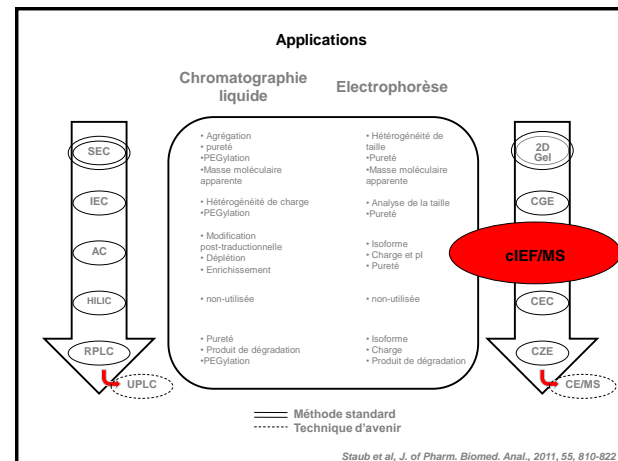
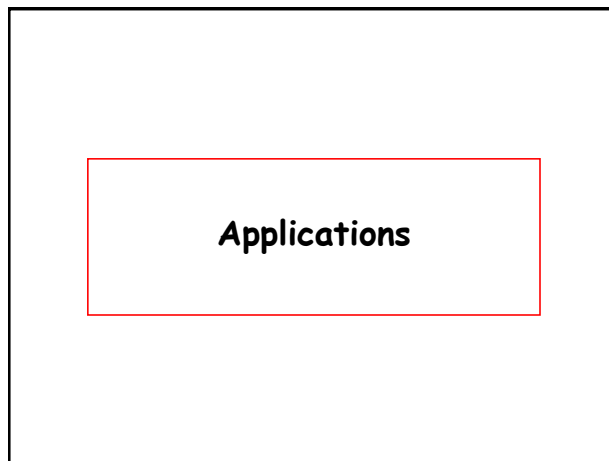
Decrease of the Ion Suppression Phenomenon at Very Low Flow Rates?



Schmidt, Karas, Dulick, J Am Soc Mass Spectrom 2003, 14, 492-500



Heemskerk et al, Analytical Chemistry 2012, 84, 4562-4569



Staub et al, J. of Pharm. Biomed. Anal., 2011, 55, 810-822

Le couplage cIEF-ESI/MS

- Séparation suivant le point isoélectrique des protéines
- Nature de l'électrolyte support :
 - ✓ Anolyte : Acide formique 50 mM
 - ✓ Catholyte : Ammoniac 100 mM
 - ✓ Ampholyte support
- Focalisation sous champs puis Mobilisation sous champs et pression
- Grand champ d'applications :
 - Séparation d'isomères
 - Détermination de PTMs (Glycosylation, phosphorylation...)
 - Analyse des produits de dégradation
 - Etc...

Séparation de 6 protéines modèles par CIEF-ESI/MS

(A) Total-ion electropherogram (TIE) (B) extracted-ion electropherogram (EIE) à m/z 148 pour visualiser la lysine et l'acide glutamique (début et fin du gradient). Condition : voir référence.

- Milieu glycérol/eau
 - ↳ Solubilisation, pas EOF
- Optimisation de la concentration d'ampholyte
 - ↳ Minimum de suppression d'ion
- Injection de 40% du volume du capillaire
 - ↳ Focalisation optimale

- Détermination du pl
- Caractérisation
- Pureté

Makaddem et al, Electrophoresis, 2009, 30, 4040-4048

Applications

| Chromatographie liquide | Electrophorèse |
|---|--|
| SEC IEC AC HILIC RPLC UPLC | 2D Gel CGE cIEF CEC |
| <ul style="list-style-type: none"> • Aggrégation • pureté • PEGylation • Masse moléculaire apparente • Hétérogénéité de charge • PEGylation • Modification post-traductionnelle • Dépletion • Enrichissement • non-utilisée • Pureté • Produit de dégradation • PEGylation | <ul style="list-style-type: none"> • Hétérogénéité de taille • pureté • Masse moléculaire apparente • Analyse de la taille • Pureté • Isoforme • Charge et pl • Pureté • non-utilisée • Isoforme • Charge • Produit de dégradation |

— Méthode standard
---- Technique d'avenir

Staub et al, J. of Pharm. Biomed. Anal., 2011, 55, 810-822

Le couplage CZE-ESI/MS

- Séparation suivant des différences de mobilités électrophorétiques
- Nature de l'électrolyte support :
 - ✓ Volatile
 - ✓ Peu concentré en sel
 - ✓ Compatible pour des études en non dénaturant
- Efficacité inversement proportionnelle au coefficient de diffusion des molécules.
- Grand champ d'applications :
 - Séparation d'isomères
 - Détermination de PTMs (Glycosylation, phosphorylation...)
 - Analyse des produits de dégradation
 - Détermination de constante de stabilité

Comparaison CE/MS et CESI/MS

CE-ESI-MS conventionnelle CESI-MS

| protéines (50 µg/ml par protéine) | intensité ($\times 10^3$ cts) |
|-----------------------------------|--------------------------------|
| 1. insulin | 1 |
| 2. anhydride carbonique | 2 |
| 3. ribonuclease A | 3 |
| 4. lysozyme | 4 |

Haselberg et al, J. Chrom., 2010, 1217, 7605-7611

Comparaison CE/MS et CESI/MS

| protéine | limites de détection (nM) |
|----------------------|---------------------------|
| insuline | 1.3 |
| anhydride carbonique | 0.58 |
| ribonuclease A | 0.62 |
| lysozyme | 0.50 |
| CE-ESI-MS | 106 |
| CESI-MS | 79 |
| 33 | |
| 41 | |

• Limites de détection sub-nM
• 50-135 X de sensibilité

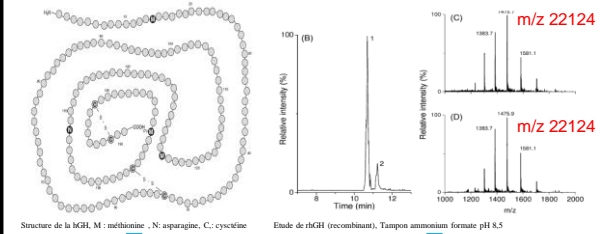
| protéine | RSDs, n=15 | peak area | linéarité |
|----------------------|------------|-----------|-----------|
| insuline | 0.63% | 8.5% | 0.999 |
| anhydride carbonique | 0.61% | 6.3% | 0.989 |
| ribonuclease A | 0.68% | 8.4% | 0.992 |
| lysozyme | 0.74% | 7.0% | 0.997 |

➤ Faible limite de détection
➤ Répétabilité sur les temps de migration
➤ Bonne linéarité

Analyse d'hormone de croissance (hGH) par CE-ESI/MS

Analyse d'hormone de croissance (hGH) par CE-ESI/MS

hGH



➤ Déamidation de l'asparagine

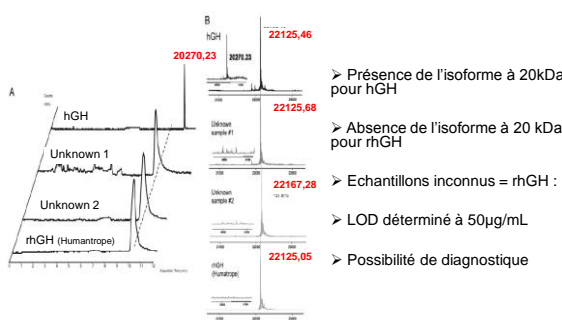
➤ Oxydation des méthionines

➤ Hypothèse de déamidation

➤ Manque de résolution en MS

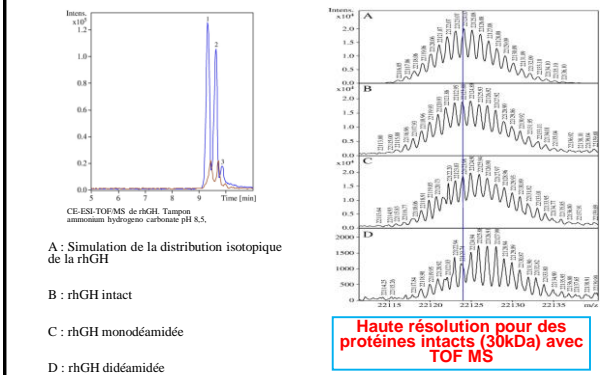
Catali et al. J. Chrom. B., 2006, 852, 160-166

Analyse d'hGH par CE-ESI/MS Différentiation entre hormone endogène et recombinante (rhGH)



Staub et al. Electrophoresis, 2010, 31, 388-395

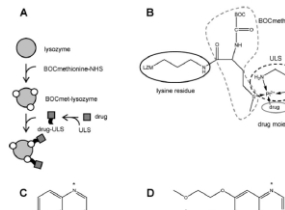
Analyse d'hGH par CE-ESI/MS Résolution isotopique de protéines intactes



Taichrib et al. J. of Proteomics, 2011, 74, 958-966

Caractérisation de « drug-lysozyme » conjugués par CESI-TOF/MS

Caractérisation de « drug-lysozyme » conjugués par CESI-TOF/MS



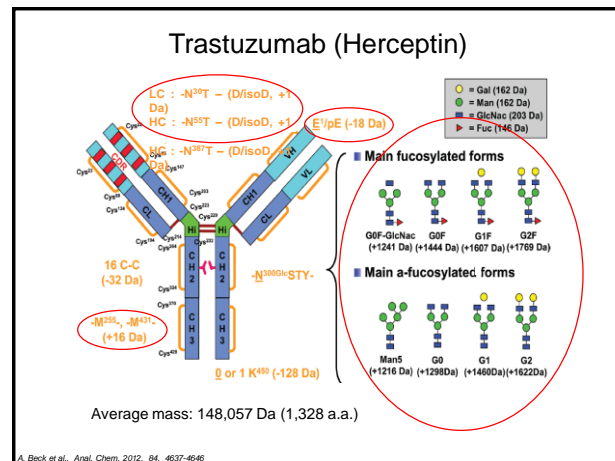
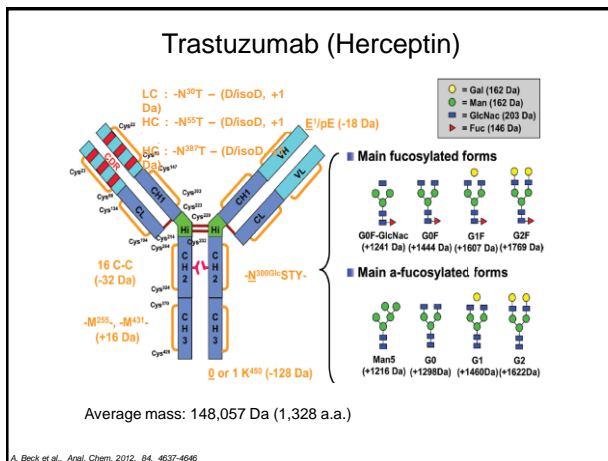
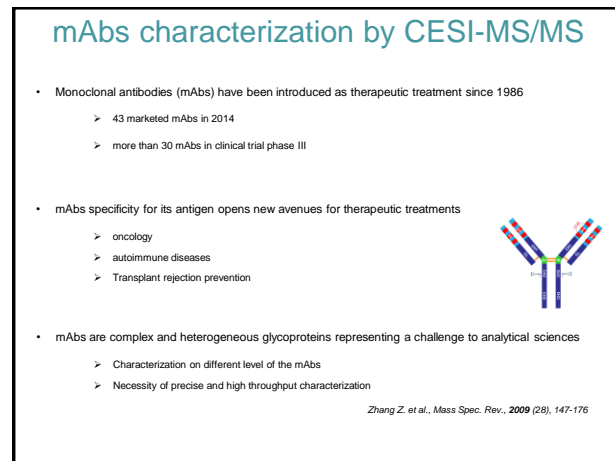
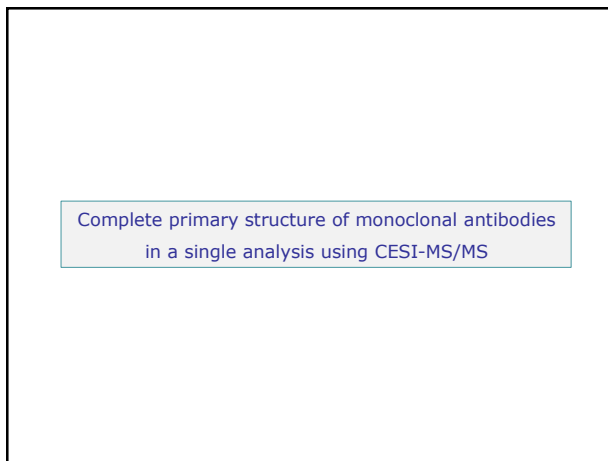
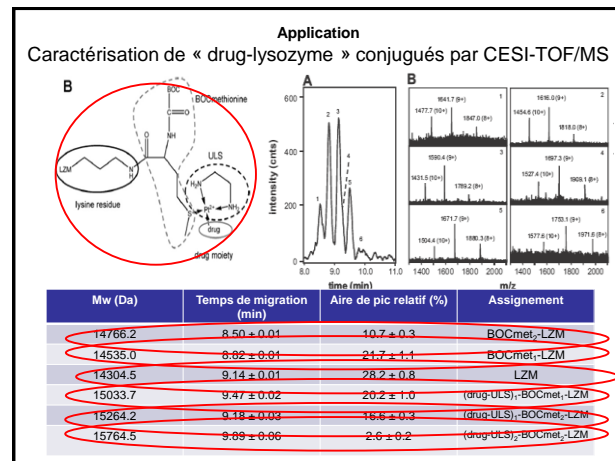
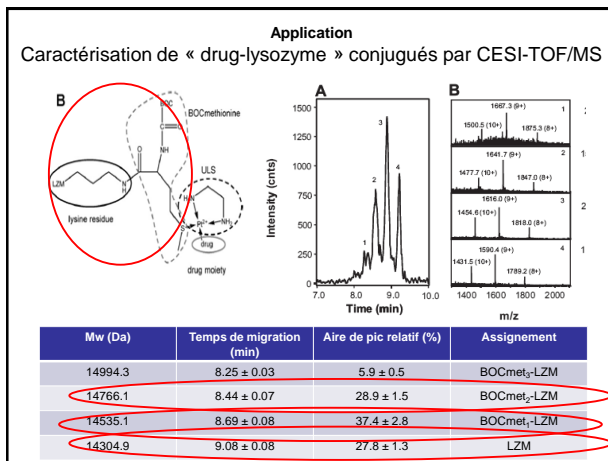
➤ traitement BOC-L-méthionine hydroxysuccinimide éster (BOCmet-NHS) :

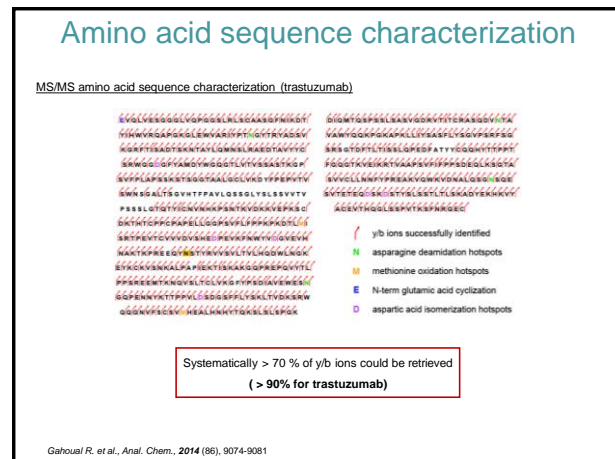
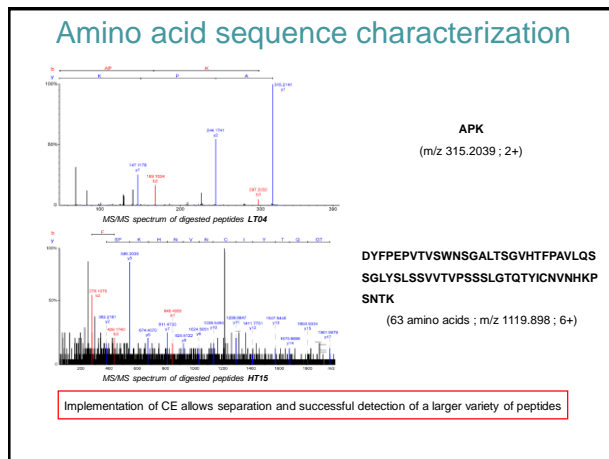
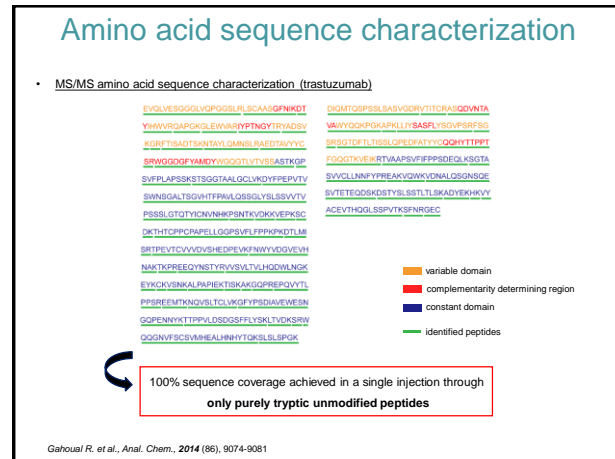
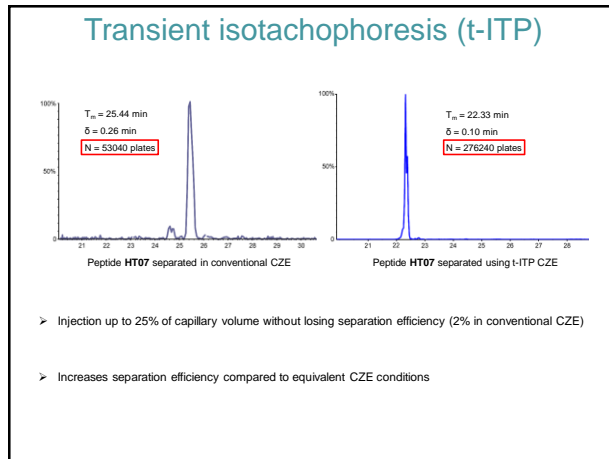
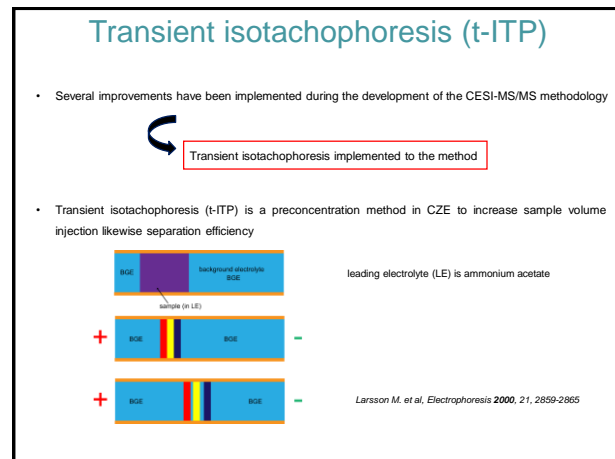
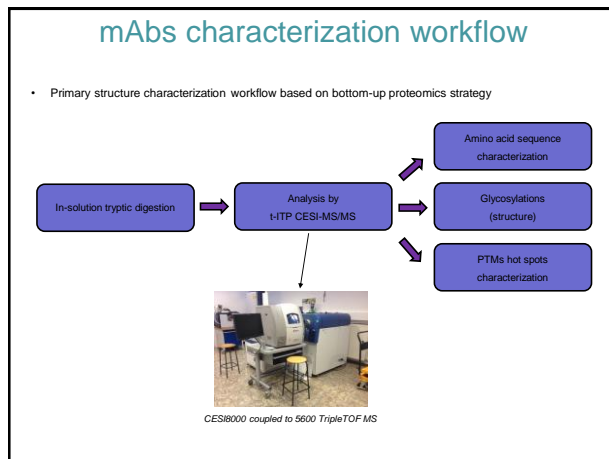
✓ introduction d'un groupement sulture pour une coordination au platine

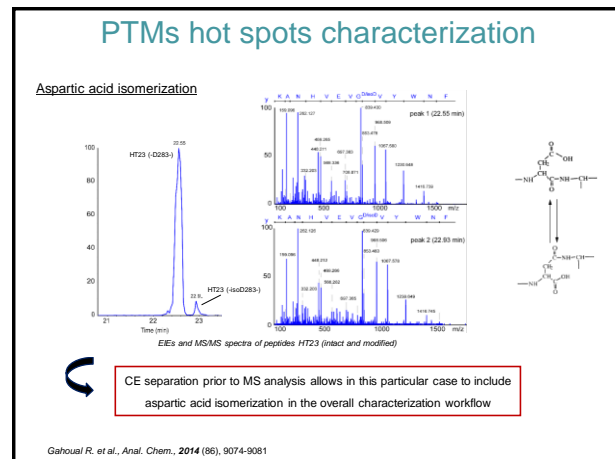
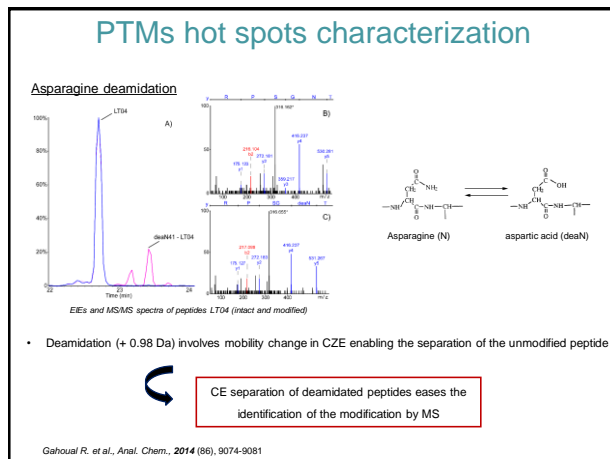
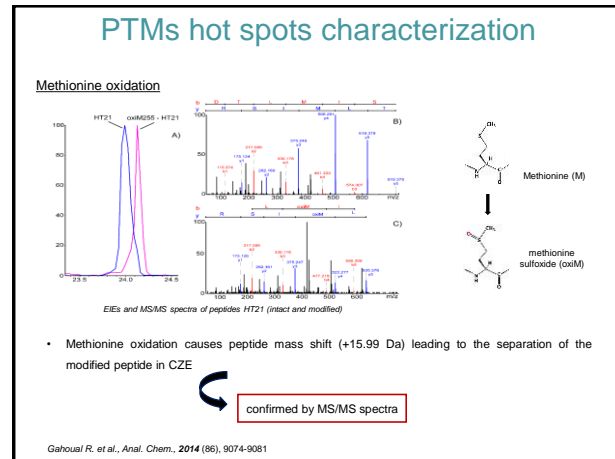
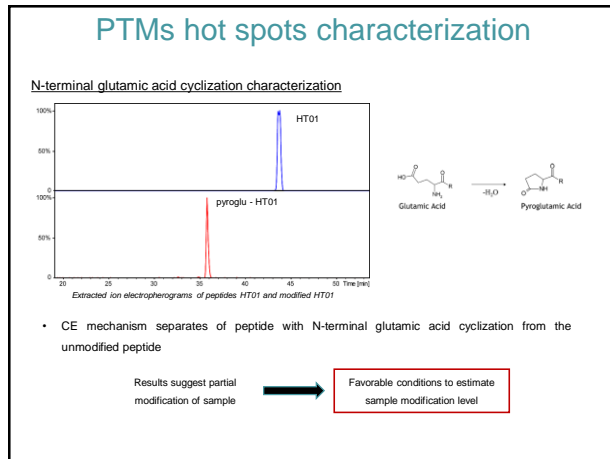
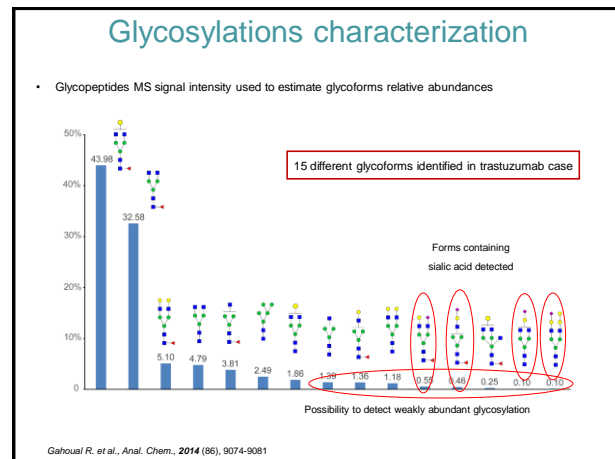
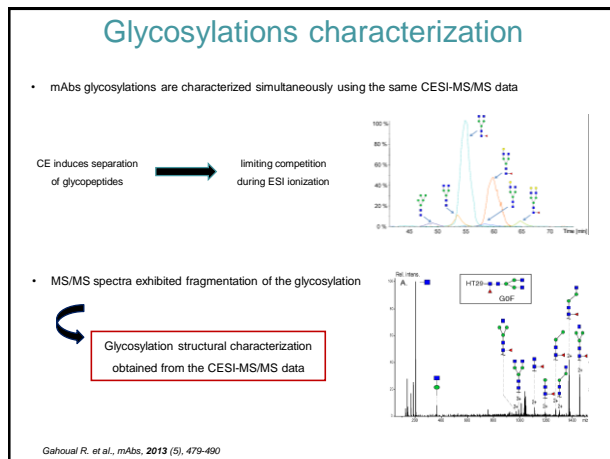
➤ LZM est une protéine basic pI 11
✓ Greffage positif au polyéthylèneimine➤ BGE, acide acétique 100 mM
pH=3,1, 5% isopropanol

(A) Voie de synthèse drug-LZM conjugué (B) Représentation schématique de drug-LZM conjugué où le groupement sulture est introduit par coordination au platine

Haselberg et al, Anal. Chim. Acta, 2011, 698, 77-83







mAbs characterization by CESI-MS/MS

| | Trastuzumab | Cetuximab | mab in-dev #1 | mab in-dev #2 |
|-----------------------------|-------------|-----------|---------------|---------------|
| sequence coverage | 100% | 100% | 100% | 100% |
| % MS2 y/b ions | > 90% | > 70 % | > 90% | > 70% |
| identified glycosylations | 15 | 15 | 10 | 16 |
| other PTMs hotspots | | | | |
| glutamic acid cyclization | 1 / 1 | 1 / 1 | 1 / 1 | 1 / 1 |
| methionine oxidation | 2 / 2 | 0 / 0 | 2 / 2 | 0 / 0 |
| asparagine deamidation | 4 / 4 | 4 / 4 | 2 / 2 | 4 / 4 |
| aspartic acid isomerization | 6 / 6 | 2 / 2 | 3 / 3 | 2 / 2 |

Results summary obtained with the t-ITP CESI-MS/MS method

The t-ITP CESI-MS/MS method developed demonstrated its robustness on different samples including technical replicates in each case

Gahoual R. et al., Anal. Chem., 2014 (86), 9074-9081

Conclusion

- Single injection (200 fmol) of mAbs digest by t-ITP CESI-MS/MS →
 - 100% amino acid sequence characterization
 - 15 glycoforms characterization
 - All PTMs hot spots characterization
- CESI-MS system and conditions provide an excellent ESI ionization yield →
 - High sensitivity
 - Positive impact on MS/MS spectra
 - Isomers separation without sample treatment

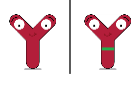
mAbs biosimilarity assessment

- As several mAbs patent are ending in the next few months/years, other companies should have the possibility to commercialize « unprotected » mAbs
- mAbs complexity and production process (cell line selection) makes it nearly impossible to produce strictly the same product as the innovator company
- FDA and EMA are introducing guidelines to help biopharma companies to determine the key features needed for a biosimilarity between two products in term of structure, PK and PD => reducing clinical trials

guidelines → biosimilars approval

1st case

trastuzumab vs. candidate biosimilar

Amino acid sequence similarity

- Complete sequence coverage obtained for trastuzumab
- Biosimilar candidate sequence could be successfully identified except HC K²¹⁷

Suggesting an amino acid substitution between the two samples

Gahoual R. et al., mAbs 2014, in press

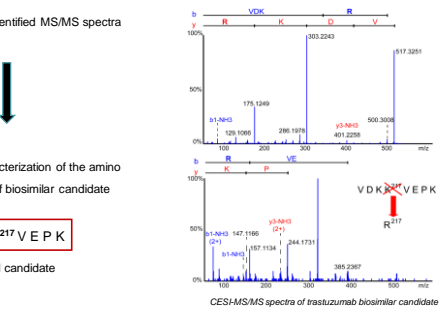
Amino acid sequence similarity

Interpretation of unidentified MS/MS spectra

Unambiguous characterization of the amino acid substitution of biosimilar candidate

V D K R²¹⁷ V E P K → rejected candidate

CESI-MS/MS spectra of trastuzumab biosimilar candidate



Gahoual R. et al., mAbs 2014, in press

Glycoforms characterization

- Glycosylation distribution evaluated for each sample using CESI-MS/MS data

Identification of a significant number of glycoforms → Minor differences of glycoforms could be distinguished

Gahoum R. et al., *mAbs* 2014, in press

2nd case

cetuximab vs. candidate biosimilar

ERBITUX
Cetuximab

Amino acid sequence similarity

- A single analysis of each sample sufficient to conclude on the complete similarity regarding AA sequence
- Complete sequence coverage is obtained through peptides without miscleavages or PTMs
- CESI-MS/MS enabled to confirm an error, recently reported in the literature

| cetuximab | cetuximab-B |
|----------------------------------|----------------------------------|
| QHQLKQDPLVPSLQVLSVTCVQFIVNQ | QHQLKQDPLVPSLQVLSVTCVQFIVNQ |
| VHWDGDPGLLQVLLQWGSQGNTTNTT | VHWDGDPGLLQVLLQWGSQGNTTNTT |
| SELENDNQDNTGFLVQDQGNTTNTT | SELENDNQDNTGFLVQDQGNTTNTT |
| ALTYHDYFADGQGQTLVAAKSTGKPPPF | ALTYHDYFADGQGQTLVAAKSTGKPPPF |
| LAPSKETGGTGGTALQGLQVYFPEPVYVNS | LAPSKETGGTGGTALQGLQVYFPEPVYVNS |
| SQASITQWVITPAHQSSEQLYBBSVYVPESS | SQASITQWVITPAHQSSEQLYBBSVYVPESS |
| LGSDYQVYKHNQPHNPKVQVPEVSCITH | LGSDYQVYKHNQPHNPKVQVPEVSCITH |
| TQPHQVQVQVQVQVQVQVQVQVQVQVQVQV | TQPHQVQVQVQVQVQVQVQVQVQVQVQVQV |
| EXTRKEDRDESDPDKRPTVPTVPTVPTVPTV | EXTRKEDRDESDPDKRPTVPTVPTVPTVPTV |
| EKREEDRDESDPDKRPTVPTVPTVPTVPTV | EKREEDRDESDPDKRPTVPTVPTVPTVPTV |
| KVSKAKLPKPKTSAAGQGSPGPZQYLPSE | KVSKAKLPKPKTSAAGQGSPGPZQYLPSE |
| EKMTKQVVELTVLQVGFVQDSEVWVEMSGRQE | EKMTKQVVELTVLQVGFVQDSEVWVEMSGRQE |
| NKYYTTPPLDQDSDGFFLNLHLYKVKRMQWQK | NKYYTTPPLDQDSDGFFLNLHLYKVKRMQWQK |
| VTSVQVWHLQHJYHFTQKSLBLQPK | VTSVQVWHLQHJYHFTQKSLBLQPK |
| DLLTQSPVLAQKPSRPRVPRFQASDQINH | DLLTQSPVLAQKPSRPRVPRFQASDQINH |
| WYQDGTGSPGLLQVLLQWGSQGNTTNTT | WYQDGTGSPGLLQVLLQWGSQGNTTNTT |
| STDTLNLNVSEDDNYQCGQDQGNTTNTT | STDTLNLNVSEDDNYQCGQDQGNTTNTT |
| STKLLAFLYAPPEFVPPFQDSEKSTAVV | STKLLAFLYAPPEFVPPFQDSEKSTAVV |
| CLLNFTPKEAVVQVYVQVQVQVQVQVQVQV | CLLNFTPKEAVVQVYVQVQVQVQVQVQVQV |
| EKGSKQVYTSVTSVTSVTSVTSVTSVTSV | EKGSKQVYTSVTSVTSVTSVTSVTSVTSV |
| THQDQSPVYKQKQKQKQKQKQKQKQKQKQK | THQDQSPVYKQKQKQKQKQKQKQKQKQKQK |

RGAC

D. Ayoub et al., *mAbs* 2013, 5, 699-710

Glycoforms characterization

- Fc2 glycosylation site characterization

Cetuximab possess two different N-glycosylation sites

Significant number of glycans could be characterized

Heterogenous glycoforms could be identified → Difference in glycoforms distribution could be observed

Glycoforms characterization

- Fc glycosylation site characterization

Glycoforms exhibited by the candidate biosimilar are significantly different from cetuximab

- 30 % of glycans contains N-acetylneurameric acid
- Capped gal-α1,3-gal glycans significantly reduced

Rejected as biosimilar

Biosimilarity assessment conclusion

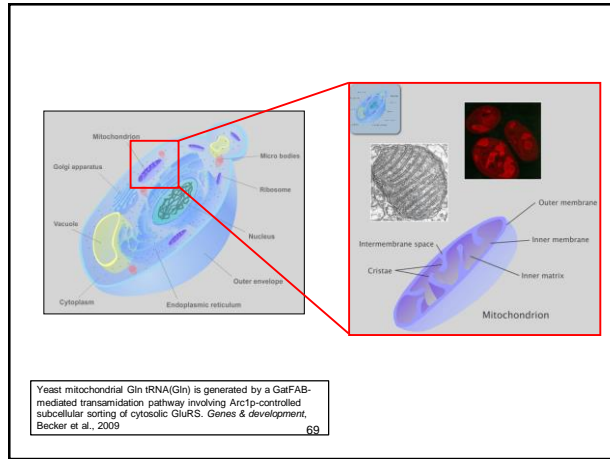
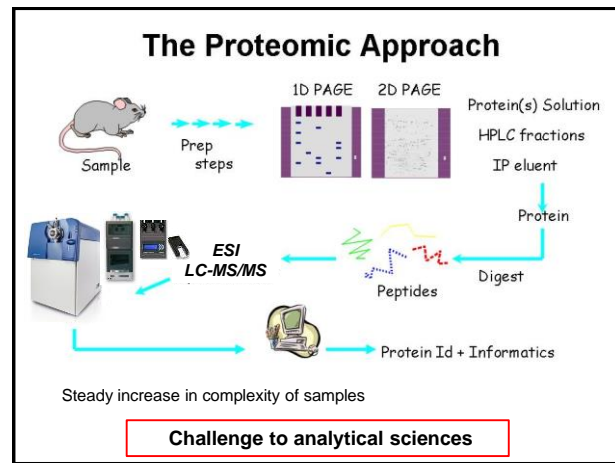
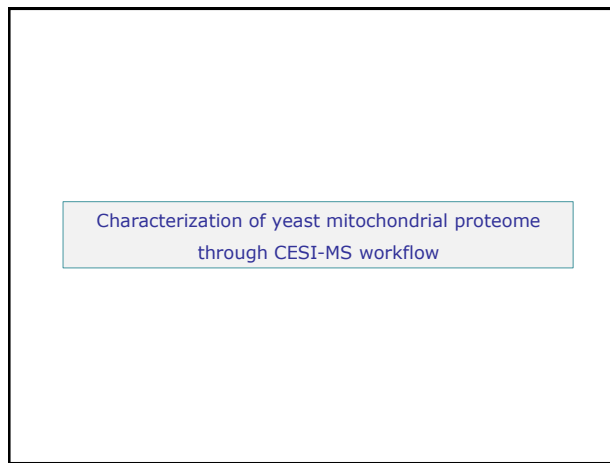
- CESI-MS/MS enabled biosimilarity assessment regarding primary structure and PTMs

| Primary structure | Post-translational modifications |
|---|---|
| 1 amino acid difference Minor differences in glycoforms relative abundances No significant differences in modification levels | Complete sequence similarity Glycoforms expressed significantly different No significant differences in modification levels |

Summary of the biosimilarity assessment by nITP-CESI-MS/MS

Distinction of significant difference between innovator and candidate

- CESI-MS/MS allowed to conclude in each case on the biosimilarity assessment



Content of the Study

- Assessment of capabilities of CESI-MS/MS for the analysis of 100 ng yeast mitochondrial digest
- NanoLC-MS/MS is performed in parallel as a reference method
 - In the same conditions
 - Using a classical protocol (60 min gradient)
 - Same sample condition: 100 ng mitochondrial yeast digest

- CESI-MS/MS**

Bare Fused Silica Capillary (90 cm*30 μ m i.d.)
BGE: 1% formic acid (pH 2.1)
Sample: yeast mitochondrial digest sample 1 μ g/ μ L (100 ng injected)
Voltage: 15 kV
Current: 2 to 4 μ A
Distance between capillary tip and MS: 3 to 8 mm
Flowrate: <10 nL/min

- MS Conditions**

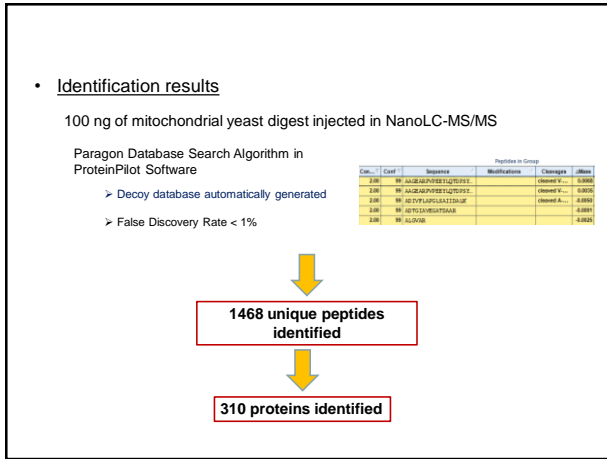
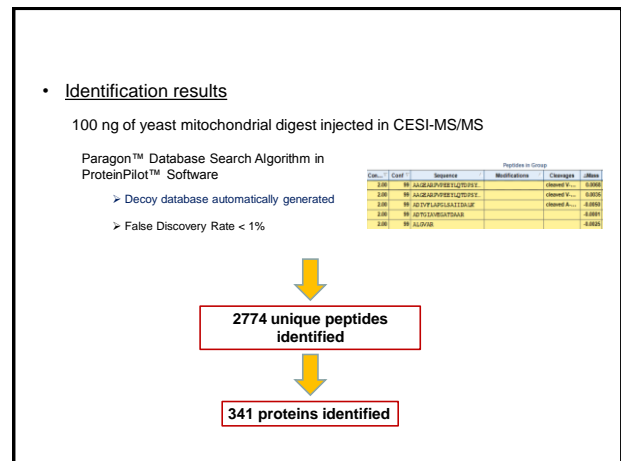
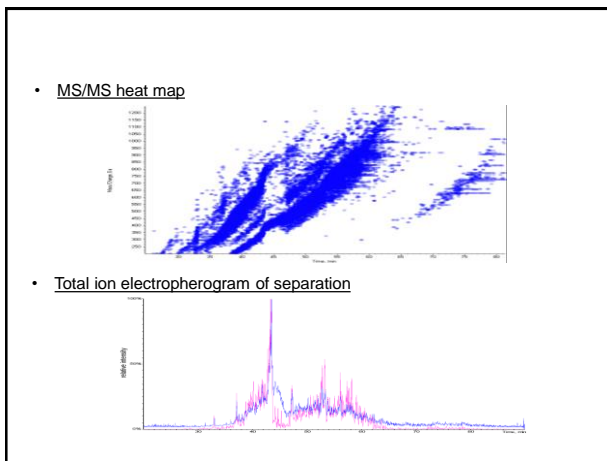
AB SCIEX TripleTOF 5600 System, positive mode, capillary voltage - 1750 V,
Curtain gas 5, T=75°C, GS1=0
Mass range: 150-1250 (TOF-MS), 100-2000 (TOF-MS/MS)
IDA Top 20 (duty cycle 2.0 sec, mean spectra rate 12.1 Hz)

- NanoLC-MS/MS**

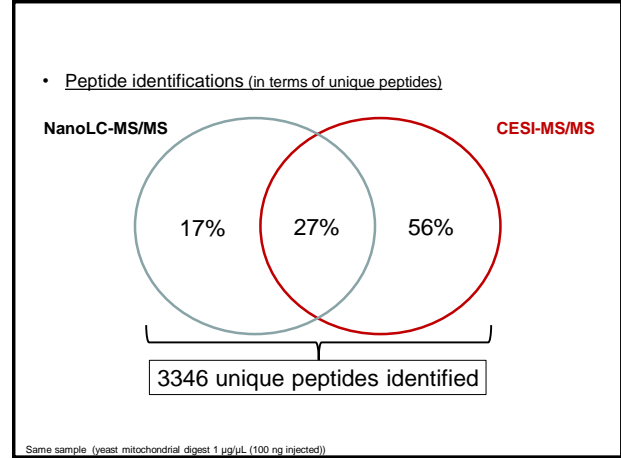
Eksigent nanoLC 2D plus system with cHiPAC System
Pre column: ChromXPC18-CL (200 μ m, 0.5 mm, 3 μ m, 120 \AA)
Column: ChromXPC18-CL (75 μ m, 15 cm, 3 μ m, 120 \AA)
Gradient: started at 5%. The concentration of solvent B was increased linearly from 4% to 40% during 50 min and from 50% to 100% during 1 min (solvent A, 0.1% formic acid; solvent B, 0.1% formic acid in 100% acetonitrile)
Sample: mitochondrial digest sample 1 μ g/ μ L (100 ng injected)
Flowrate: 300 nL/min

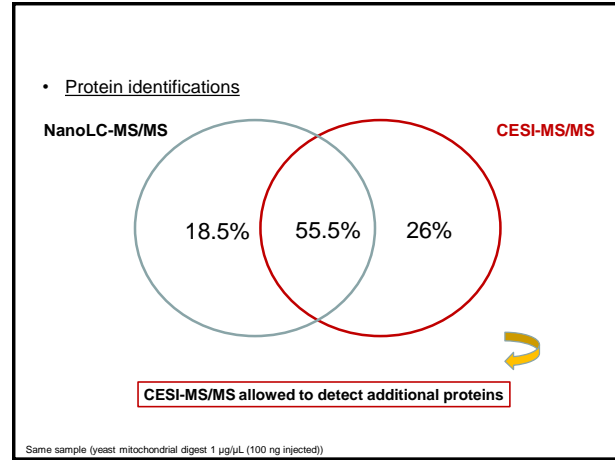
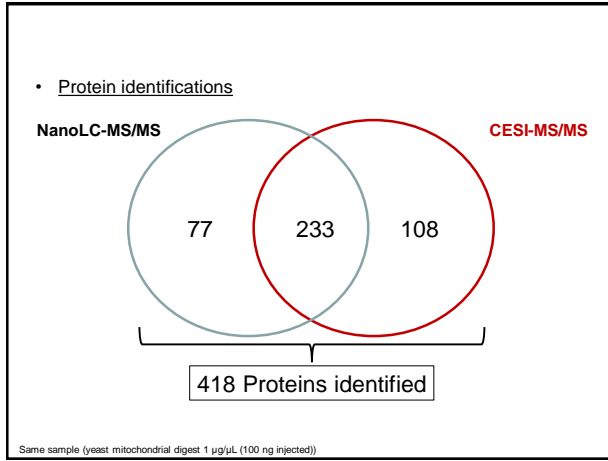
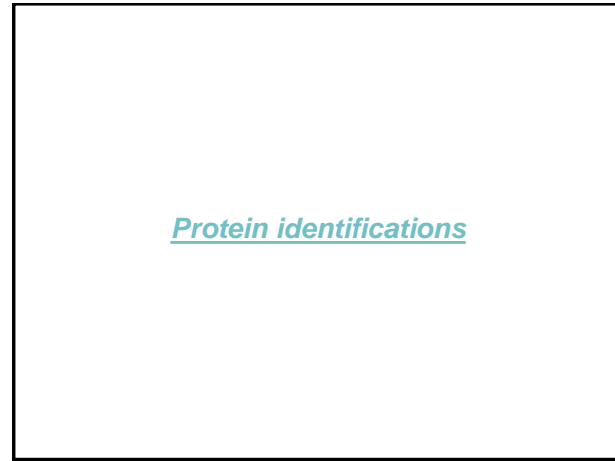
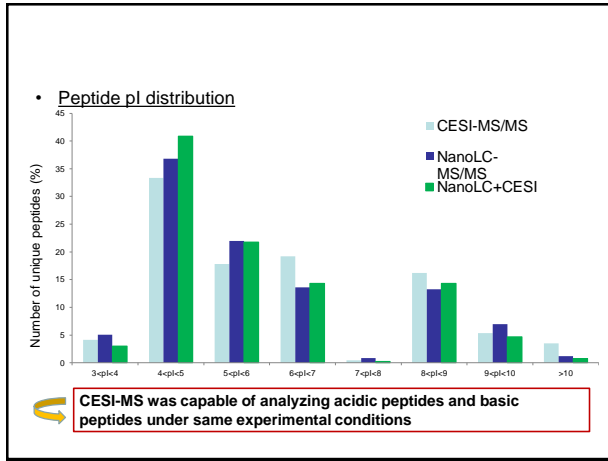
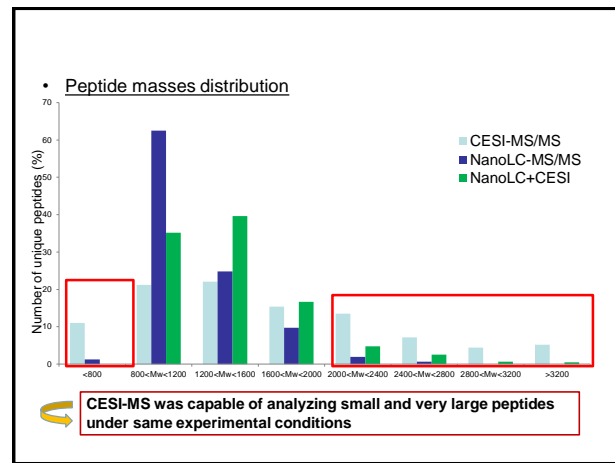
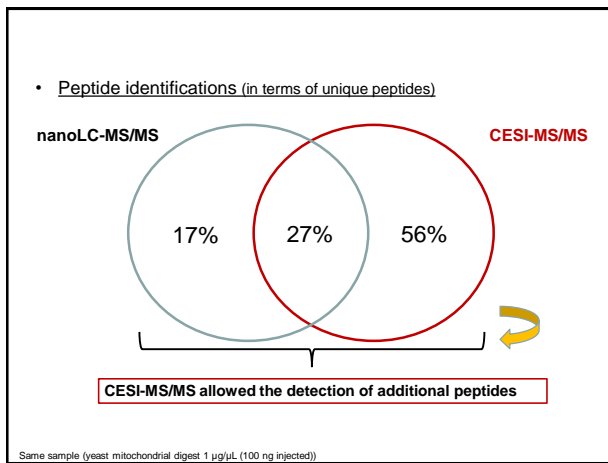
- MS Conditions**

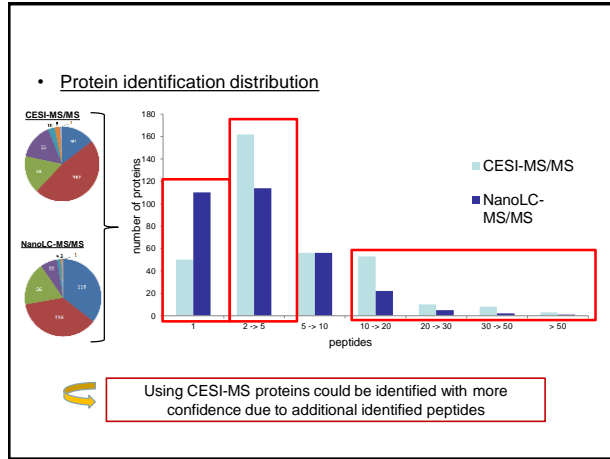
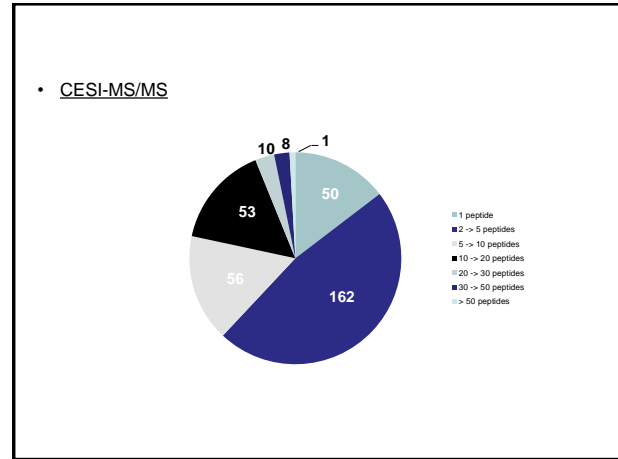
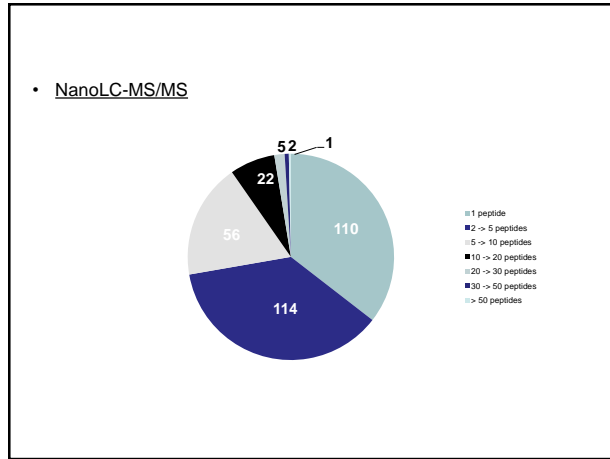
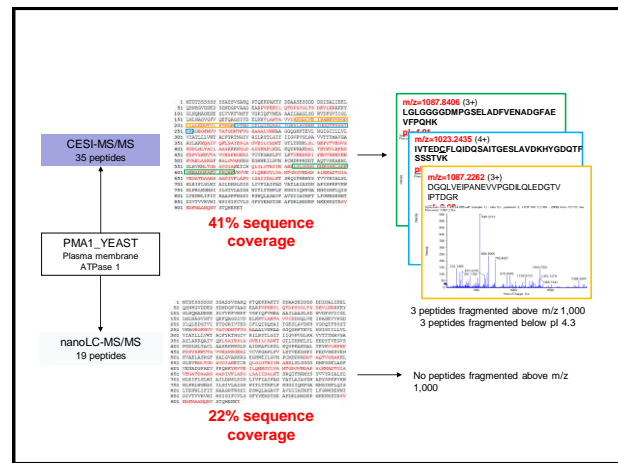
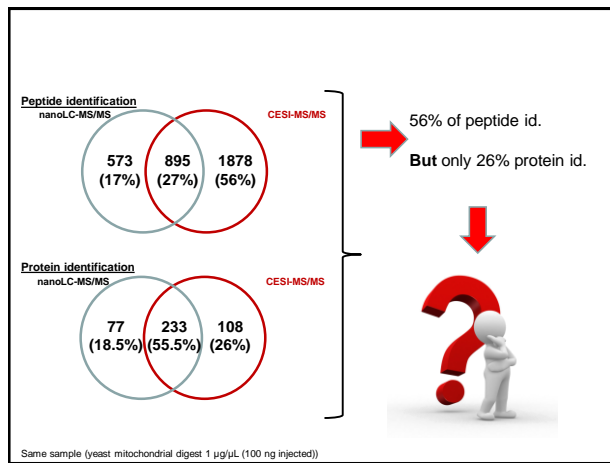
AB SCIEX TripleTOF 5600 System, positive mode, capillary voltage 2300 V,
Curtain gas 22, T=150°C, GS1= 5
Mass range: 150-1250 (TOF-MS), 100-2000 (TOF-MS/MS)
IDA Top 20 (duty cycle 1.6 sec, mean spectra rate 12.1 Hz)



Peptide identifications







Conclusion

- CESI-MS/MS generated 2774 peptide IDs corresponding to 341 proteins IDs from 100 ng mitochondrial yeast digest injected
- CESI-MS was capable of analyzing small and large peptides under same experimental conditions
- CESI-MS protein could be identified with more confidence due to additional identified peptides

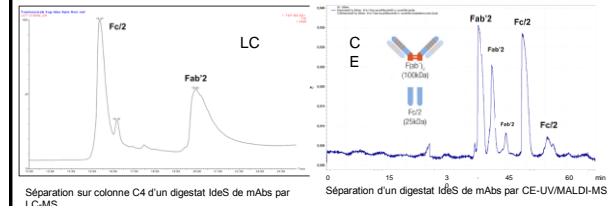
Couplage CE-MALDI-MS

Couplage CE/MS

INTERET

Electrophorèse capillaire (CE)

- Principe de séparation (Electrocinétique)
- Bonne efficacité



Couplage CE/MS

INTERET

Electrophorèse capillaire (CE)

- Principe de séparation (Electrocinétique)
- Bonne efficacité

MS

- Sélectivité / Précision (qq ppm)
- Sensibilité (fmol-Amol)

DIFFICULTES

- Maintien du courant
- Capacité de chargement du capillaire (qq nL)
- Sels Détergents



MALDI- MS plus de tolérance aux sels

SOMMAIRE

1. Le couplage CE/MALDI –MS

2. Mise au point et évaluation du CE-UV/MALDI-MS

3. Mise au point de l'analyse Top DOWN par CE-UV/MALDI-MS

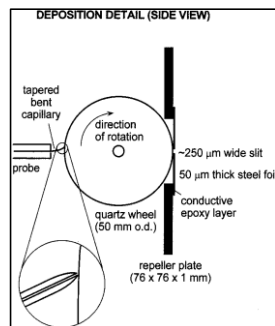
Couplage CE/MALDI-MS Direct

Preisler, Foret, Karger
Anal. Chem. 1998, 70, 5278-5287

Dépot sur un disque tournant ou sur une boule en rotation



Bonne sensibilité
mais difficile à mettre en place et très faible robustesse



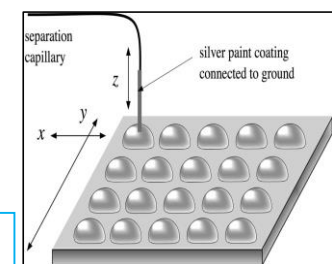
Couplage indirect Collecteur de fraction sans liquide additionnel

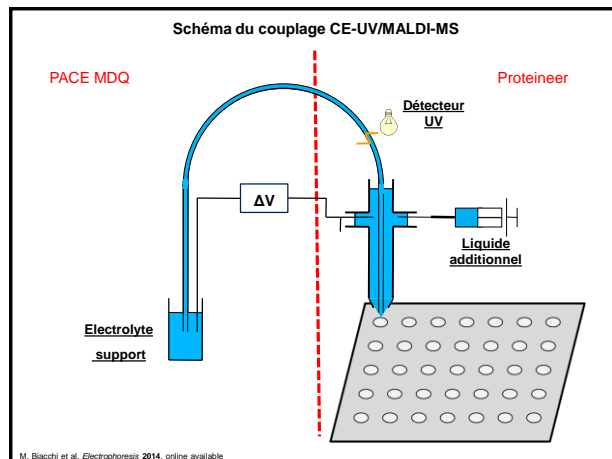
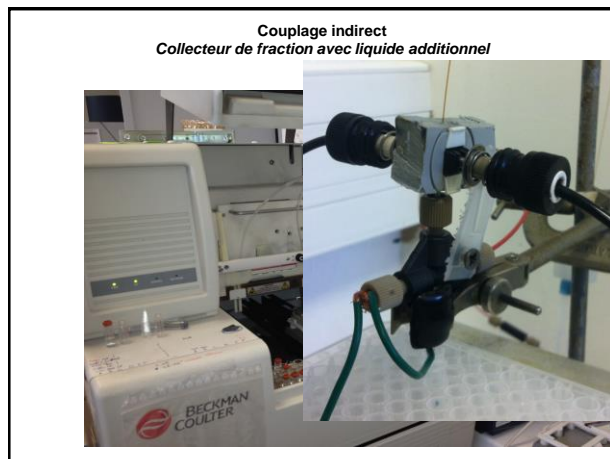
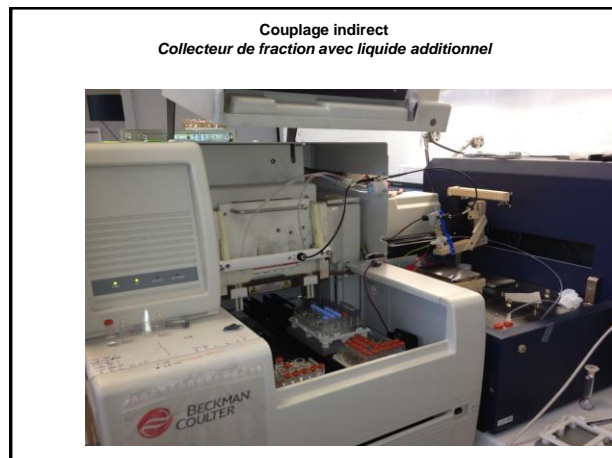
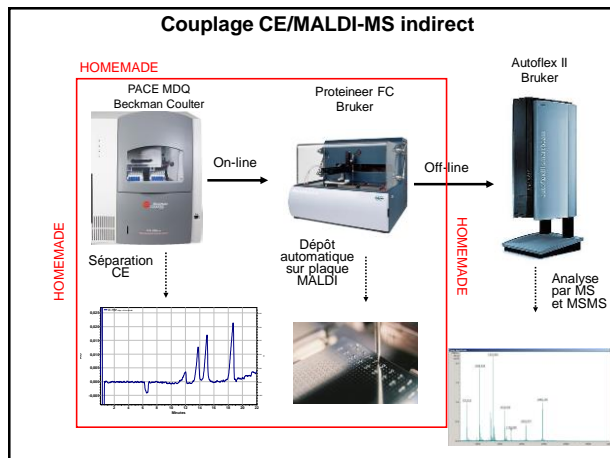
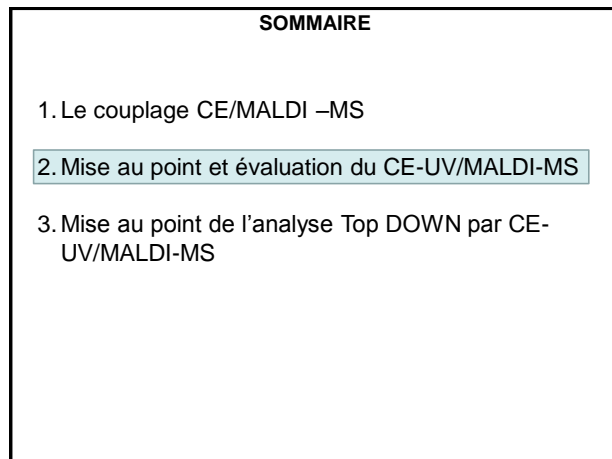
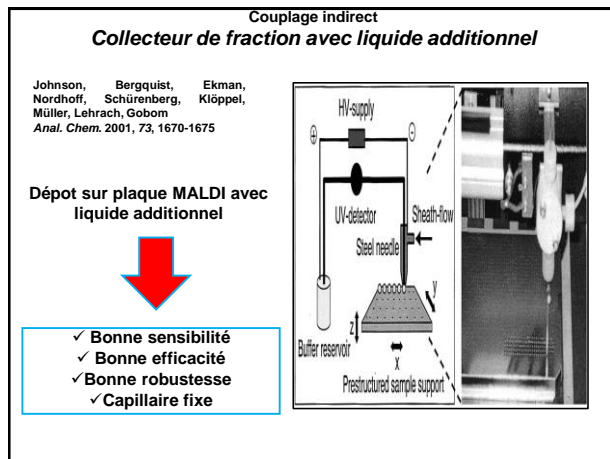
Busnel, Josserand, Lion, Girault
Anal. Chem. 2009, 81, 3867-3872

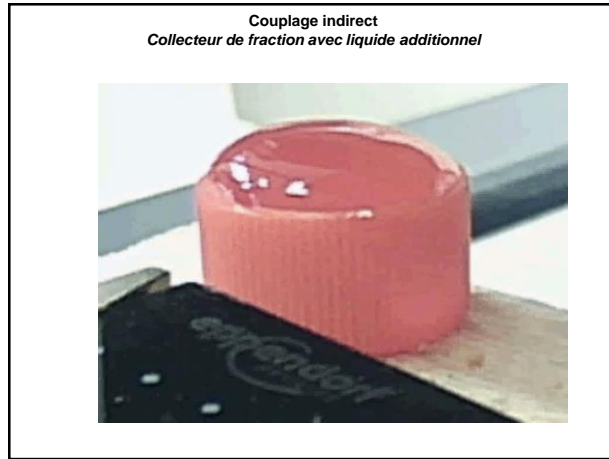
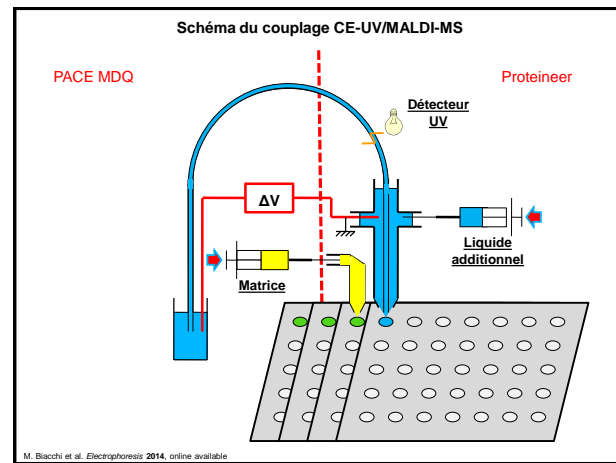
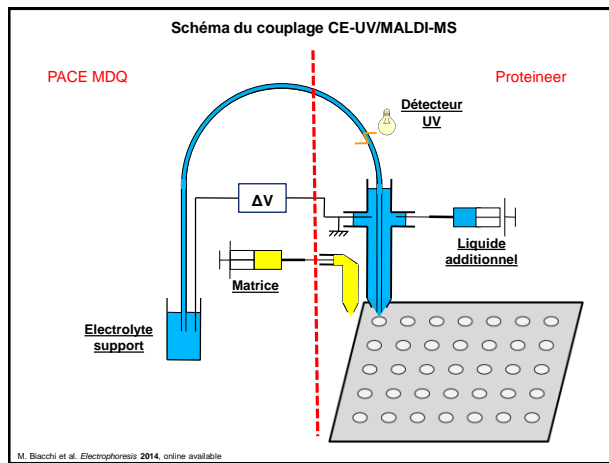
Dépot sur plaque MALDI
Sans liquide additionnel
Capillaire conducteur



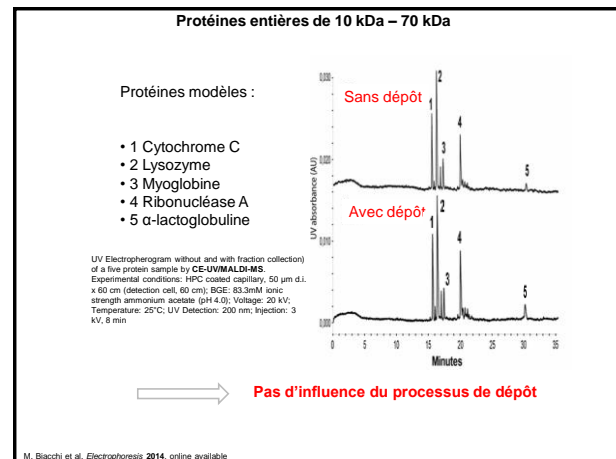
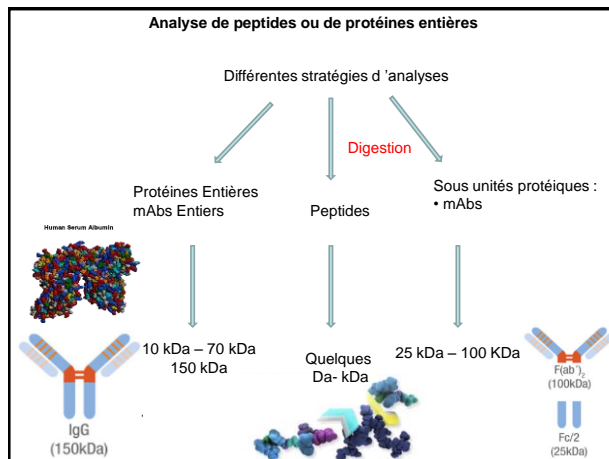
✓ Bonne sensibilité
✓ Bonne efficacité
✓ Miniaturisation

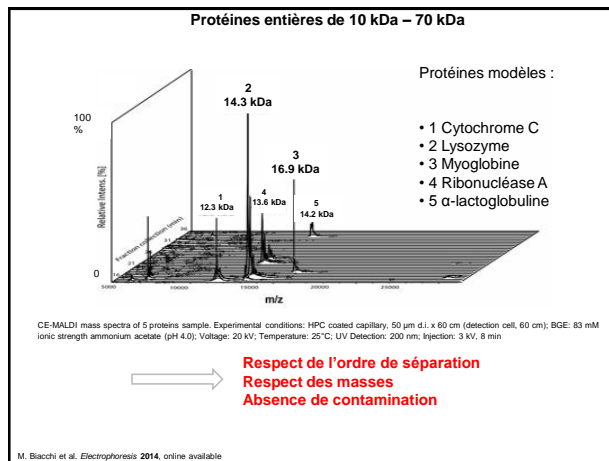




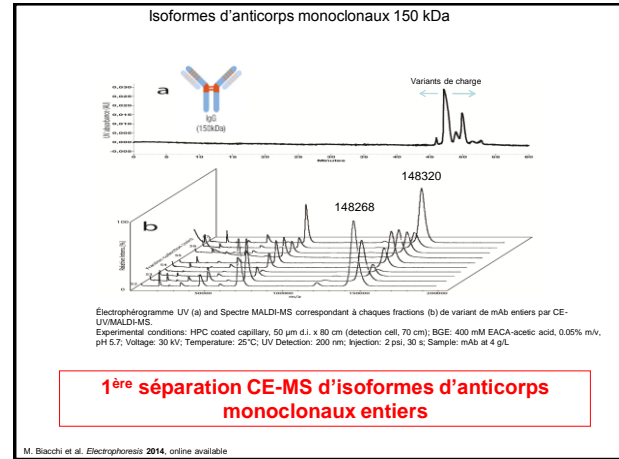
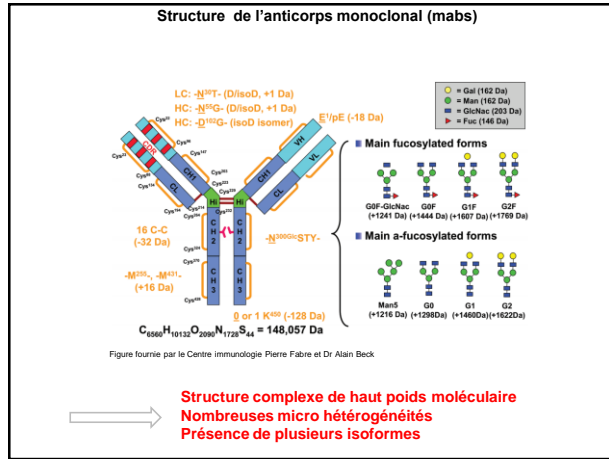


**Analyse de peptides
ou
de protéines entières**

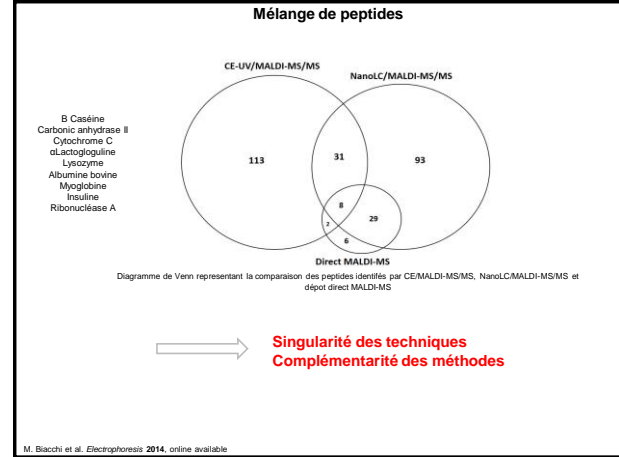




Application à un mélange de variants de mAbs entiers



Evaluation du système : Peptidomique



| Mélange de peptides | | | | | | | | | | |
|-------------------------|-------------------|-------------------------|--------------------|-------------------------|-------------------|-------------------------|-------------------|-------------------------|-------------------|---|
| CE-UV/MALDI-MS/MS | | | NanoLC/MALDI-MS/MS | | | Direct MALDI-MS | | | | Combination of the three deposition modes |
| Identified peptides (%) | Sequence coverage | Identified peptides (%) | Sequence coverage | Identified peptides (%) | Sequence coverage | Identified peptides (%) | Sequence coverage | Identified peptides (%) | Sequence coverage | |
| βCas | 3 | 22.3 | 4 | 20.5 | 3 | 14.7 | 7 | 34.4 | | |
| CAII | 20 | 58.8 | 11 | 34.2 | 5 | 37.7 | 20 | 59.9 | | |
| Cyt C | 13 | 58.1 | 7 | 43.8 | 1 | 10.5 | 10 | 74.3 | | |
| oLac | 9 | 40.8 | 12 | 51.4 | 1 | 7.0 | 10 | 53.5 | | |
| Lys | 28 | 79.6 | 24 | 83.0 | 12 | 58.5 | 41 | 96.7 | | |
| BSA | 55 | 73.0 | 68 | 77.3 | 13 | 23.6 | 113 | 96.1 | | |
| Myo | 15 | 85.1 | 6 | 44.2 | 0 | 0 | 10 | 86.1 | | |
| Ins | 1 | 58.8 | 4 | 100 | 2 | 43.1 | 8 | 100 | | |
| RNase A | 10 | 100 | 25 | 93.5 | 8 | 54.4 | 32 | 100 | | |
| Total of id. pep. | 154 | AverageSeq. q. Cov. (%) | 64.1 | Total of id. pep. | 161 | AverageSeq. q. Cov. (%) | 60.8 | Total of id. pep. | 45 | AverageSeq. q. Cov. (%) |
| | 27.7 | | | | | | | 279 | | 76.9 |

Mélange de peptides

| Combination of the three deposition modes | |
|---|-----------------------|
| Identified peptides (%) | Sequence coverage (%) |
| 7 | 34.4 |
| 28 | 59.9 |
| 16 | 74.3 |
| 18 | 53.5 |
| 41 | 86.7 |
| 113 | 96.1 |
| 10 | 86.1 |
| 8 | 100 |
| 32 | 100 |

Total of Id. AverageSeq. q. Cov. (%)

279 76.9

CE + LC + Dépôt Direct

=

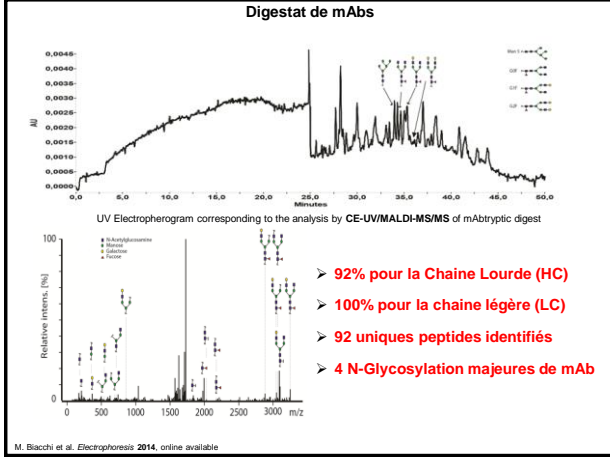
Augmentation significative % recouvrement



Complémentarité des méthodes

M. Biacchi et al. Electrophoresis 2014, online available

Application à un digestat d'anticorps monoclonaux



Conclusion

Développement d'une nouvelle interface CE-UV/MALDI MS

- Modification de 2 appareils commerciaux
 - Automatisation, Répétable et Robustesse
- Evaluation du système
 - Mélange des protéines entières jusqu'à 150 kDa
 - Digestat de protéines
 - Complémentarité à la LC-MS

SOMMAIRE

1. Le couplage CE/MALDI –MS
2. Mise au point et évaluation du CE-UV/MALDI-MS
3. Mise au point de l'analyse Top DOWN par CE-UV/MALDI-MS

L'analyse Top Down par MALDI-MS

Protein: N-T-E-R-M-S-E-Q-U-E-N-C-E-C-T-E-R-M

Sequencing: N-T-E-R-M-S-E-Q-U-E-N-C-E-C-T-E-R-M

MALDI-TDS

in minutes

Fragmentation ISD : séquence en AA

- Nécessité de concentration suffisante (pmol)
- Nécessité de séparer les protéines

➡ Collecte et Enrichissement par CE/MALDI-MS

Evaluation du système sur un mélange de protéines de référence

Séparation, Enrichissement, Top-Down d'un mélange de 5 protéines

Protéines modèles :

- 1 Cytochrome C
- 2 Lysozyme
- 3 Myoglobine
- 4 Ribonucléase A
- 5 lactoglobuline

UV absorbance (AU)

Minutes

Conditions : Injection : 5 kV 8 min ; tampon : 83 mM de force ionique d'une solution d'acétate d'ammonium à pH4 ; L= 60 cm, Id= 53 cm, Ø = 50 µm ; greflage : HPC. UV à 200 nm, 25°C. (1) 40 nM Cyt c, (2) 40 nM Lyz, (3) 50 nMMyo, (4) 50 nMRnase A and (5) 120 nM oLac dans l'eau

➡ Répétabilité RSD < 2% sur temps de migration
Enrichissement directement sur plaque MALDI

Séparation, Enrichissement, Top-Down d'un mélange de 5 protéines

Cytochrome C

3 dépôts

1 dépôt (1 pmol)

Relative Intens. [%]

m/z

Superposition des spectres de masse du cytochrome C à 1 (Rouge) et 3 (Bleu) répétitions . Puissance laser : 71% Matrice : 2,5-dihydroxybenzoïque (DHB) (saturé) dans du TGA30 (0,1%TFA, 70% eau et 30% acetonitrile).

Absence d'effet mémoire
Augmentation du signal en fonction du nombre du dépôt

➡ Enrichissement

Séparation, Enrichissement, Top-Down d'un mélange de 5 protéines

MGDVEKGKIFQKCAQCHTVERGGKHKHTGPNLHGLFRKTE.....LENPKKYIPGTRKMIFAGIKKKGEREDLIAYLKATNE

Cytochrome C

3 dépôts

0 1500 2000 2500 3000 3500 4000 4500 m/z

Identification de 39 résidus correspondant à la séquence de la Cytochrome C

caractérisation Top Down de protéine par CE/MALDI-MS/MS